



БИООРГАНИЧЕСКАЯ ХИМИЯ

том 11 * №12* 1985

УДК 577.452.361

ПЕРВИЧНАЯ СТРУКТУРА α -СУБЪЕДИНИЦЫ Na^+ , K^+ -АТР-азы

I. АНАЛИЗ ГИДРОФИЛЬНЫХ ФРАГМЕНТОВ ПОЛИПЕПТИДНОЙ ЦЕПИ *

**Арзамазова Н. М., Аристархова Е. А., Шафиева Г. И.,
Назимов Н. В., Алданова Н. А., Модянов Н. Н.**

Институт биоорганической химии им. М. М. Шемякина
Академии наук СССР, Москва

Осуществлен избирательный троптический гидролиз нативной мембранны-связанной формы Na^+ , K^+ -АТР-азы почек свиньи в условиях, обеспечивающих глубокое расщепление α -субъединицы при полном сохранении интактности гликозилированной β -субъединицы. Из водорастворимой части гидролизата с помощью высокоеффективной жидкостной хроматографии выделено 27 индивидуальных пептидов, составляющих в сумме ~40% полипептидной цепи белка. Определена их полная или частичная аминокислотная последовательность. Проведенный анализ позволил получить общие представления о структуре экспонированных из мембраны гидрофильных участков α -субъединицы. Структурная информация использована для синтеза специфических олигонуклеотидных зондов.

Na^+ , K^+ -активируемая аденоцилтрифосфатаза (К Ф 3.6.1.3) плазматических мембран клеток животных представляет собой универсальную систему активного транспорта Na^+ и K^+ . Используя энергию гидролиза АТР, этот фермент осуществляет трансмембранный перенос одновалентных катионов против градиента их электрохимических потенциалов, обеспечивая тем самым постоянство неравновесного распределения этих ионов между клеткой и средой.

Молекула фермента состоит из двух типов субъединиц: α ($M_r \approx 100\,000$) и β ($M_r \approx 50\,000$). С функциональной точки зрения наибольшую значимость имеет α -субъединица, в цитоплазматическом домене которой расположен АТР-гидролизующий центр фермента. Фрагменты полипептидной цепи α -субъединицы, экспонированные на наружной стороне мембраны, образуют участки связывания сердечных гликозидов — специфических ингибиторов фермента. Трансмембранный характер организации молекулы α -субъединицы свидетельствует о возможном ее участии в образовании катионпроводящего пути. Функциональная роль β -субъединицы пока не выяснена (см. обзоры 2–5).

Для выяснения молекулярных основ функционирования этого фермента необходим детальный анализ структурной организации его молекулы. Ранее в нашей лаборатории были определены молекулярные массы субъединиц Na^+ , K^+ -АТР-азы из мозгового слоя почек свиньи, их аминокислотный состав и установлена аминокислотная последовательность N-концевых участков молекул [6]. В настоящее время мы завершаем работы по установлению полной первичной структуры субъединиц. Для определения аминокислотной последовательности такого высокомолекулярного интегрального мембранныго белка, каким является α -субъединица, использовались главным образом методы анализа нуклеотидной последовательности, соответствующей структурному гену. Результаты этих исследований будут представлены в серии статей, первая из которых посвящена структурному анализу гидрофильных участков полипептидной цепи белка. Основная цель данного этапа исследований заключалась в получении структурной информации для синтеза специфических олигонуклеотидных зондов, не-

* Результаты данной работы были представлены на XVI конференции ФЕБО, Москва, 1984 [1].

Принятые сокращения: ПААГ — полиакриламидный гель.

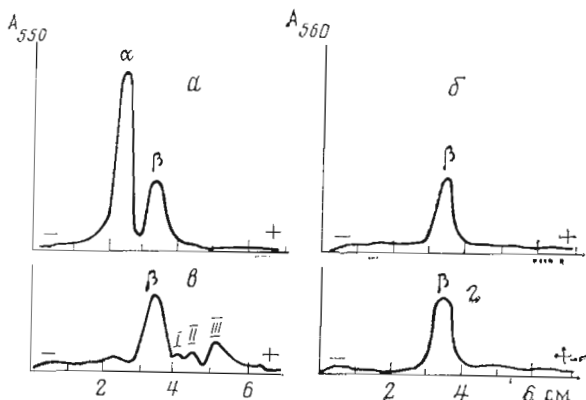


Рис. 1. Электрофоретический анализ Na^+, K^+ -АТР-азы до (а, б) и после триптического гидролиза (в, г). Окрашивание гелей кумасси G-250 (а, в) и реагентом Шиффа (б, г). Пики I, II, III соответствуют фрагментам с молекулярными весами 40, 30 и 15 кДа

обходимых для идентификации и поиска нуклеотидных последовательностей, соответствующих структурной части гена α -субъединицы Na^+, K^+ -АТР-азы. Такая постановка задачи позволила нам отказаться от выделения и анализа всех фрагментов полипептидной цепи белка и ограничиться установлением структуры отдельных ее участков.

Известен ряд характерных особенностей структурной организации молекулы Na^+, K^+ -АТР-азы. Это прежде всего возможность выделения гомогенного функционально-активного препарата фермента в мембранны-связанном состоянии [2]. Большая часть молекулы фермента, согласно результатам химической модификации [7] и иммунохимического анализа [8], образована гидрофильными участками, экспонированными по обе стороны мембраны. Каталитическая α -субъединица в составе мембранны-связанной формы фермента обладает большей чувствительностью к действию протеиназ по сравнению с гликозилированной β -субъединицей [9, 10]. Таким образом, вполне реально осуществление структурного анализа экспонированной части полипептидной цепи молекулы α -субъединицы без выделения ее в гомогенном состоянии.

Ограниченный протеолиз α -субъединицы в составе мембранны-связанного фермента трипсином и химотрипсином является одним из наиболее чувствительных тестов конформационного состояния фермента [2, 11]. В зависимости от присутствия в среде инкубации ионов натрия или калия, стабилизирующих соответственно E_1 - или E_2 -конформации фермента, в процессе гидролиза образуется совершение определенный набор небольшого числа специфических мембранны-связанных фрагментов, молекулярный вес которых сравним или превосходит молекулярный вес β -субъединицы. Основываясь на этих данных, мы попытались подобрать такие условия трипсинолиза мембранны-связанной формы фермента, которые обеспечили бы при сохранении интактности гликопroteина более глубокое расщепление экспонированных областей полипептидной цепи каталитической субъединицы. Использование стандартных условий триптического гидролиза белков ($0,1 \text{ M } \text{NH}_4\text{HCO}_3$, pH 8,3) в данном случае не представлялось целесообразным, поскольку при такой концентрации ионов водорода нарушается нативность мембранны-связанной Na^+, K^+ -АТР-азы. Однако обработка белка 1% трипсином в течение 10 мин при 37°C в $0,1 \text{ M } \text{NH}_4\text{HCO}_3$ при pH 7,5, соответствующим области стабильности фермента, приводит к образованию набора продуктов гидролиза, отличающегося от всех ранее описанных (рис. 1).

Как видно из результатов сканирования гелей, окрашенных кумасси G-250 и реагентом Шиффа, интактная β -субъединица составляет основную часть мембранны-связанных фрагментов гидролизата. Высокомолекулярные

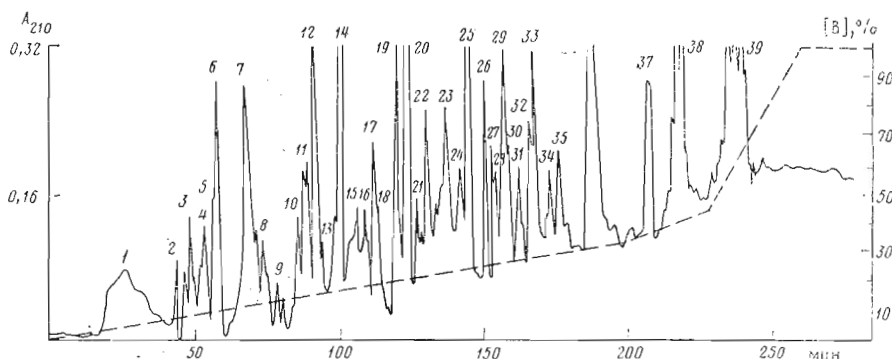


Рис. 2. Разделение водорастворимых пептидов триптического гидролизата на колонке ($0,46 \times 25$ см) с носителем Nucleosil C₁₈. Элюирующие буферы: А – 10 мМ $\text{NH}_4\text{CH}_3\text{COO}$, pH 5,65; В – 10 мМ $\text{NH}_4\text{CH}_3\text{COO}$, pH 5,65, 70% CH_3CN . Скорость элюции 1 мл/мин. Пунктирная линия обозначает изменение процентного содержания буфера В

фрагменты α -субъединицы ($M_r \approx 40, 30$ и 15 кДа) присутствуют в незначительном количестве. Очевидно, что вся оставшаяся масса пептидного материала образует набор низкомолекулярных водорастворимых фрагментов, не детектируемых на электрофорограмме, что свидетельствует о глубоком расщеплении экспонированных участков α -субъединицы. Увеличение времени инкубации (свыше 15 мин) препарата фермента с трипсином неизбежно ведет к постепенному расщеплению β -субъединицы, в то время как увеличение нагрузки протеиназы (до 10%) не приводит к дальнейшей деградации мембранны-связанных фрагментов каталитической субъединицы.

Препаративное расщепление мембранны-связанного препарата Na^+ , K^+ -АТР-азы проводили в выбранных условиях, и его результаты аналогичны результатам описанного выше аналитического гидролиза. По истечении времени инкубации реакционную смесь разбавляли 10-кратным объемом холодной воды и центрифугировали на холода в течение 2,5 ч. Электрофоретическим анализом было показано, что в процессе центрифугирования гидролиза β -субъединицы и мембранны-связанных фрагментов α -субъединицы практически не было.

Распределение пептидного материала между осадком и супернатантом оценивалось по методу Лоури и результатам аминокислотного анализа. Оказалось, что в мемbrane после центрифугирования остается 63–64% от общего количества белка, что соответствует ~50% полипептидной цепи α -субъединицы (поскольку гликозилированная β -субъединица остается интактной, а на ее долю приходится ~30% по весу в ферменте). Таким образом, оставшиеся ~50% полипептидной цепи α -субъединицы переходят в супернатант в виде водорастворимых пептидов.

Поскольку можно было предположить, что за короткое время проведения трипсинолиза на мембранны-связанном ферменте не все чувствительные к действию протеиназы связи подверглись расщеплению, для облегчения последующего фракционирования и увеличения выхода пептидов супернатант повторно обрабатывали трипсином в стандартных условиях в оптимуме pH в течение 4,5 ч (см. «Эксп. часть»).

В качестве основного метода разделения полученной сложной смеси пептидов нами была выбрана высокоэффективная жидкостная хроматография на носителе с обращенной фазой в аммоний-ацетатном буфере, pH 5,65, в градиенте концентраций ацетонитрила от 0 до 70% (рис. 2). Аналитическое деление супернатанта на колонке с носителем Nucleosil C₁₈ показало, что основная масса пептидного материала элюируется при концентрации ацетонитрила ниже 25%. В препаративном варианте для повышения эффективности деления на этом участке градиента использовалось очень медленное увеличение концентраций ацетонитрила (0–25% CH_3CN – 200 мин). Рекроматография полученных объединенных фракций прово-

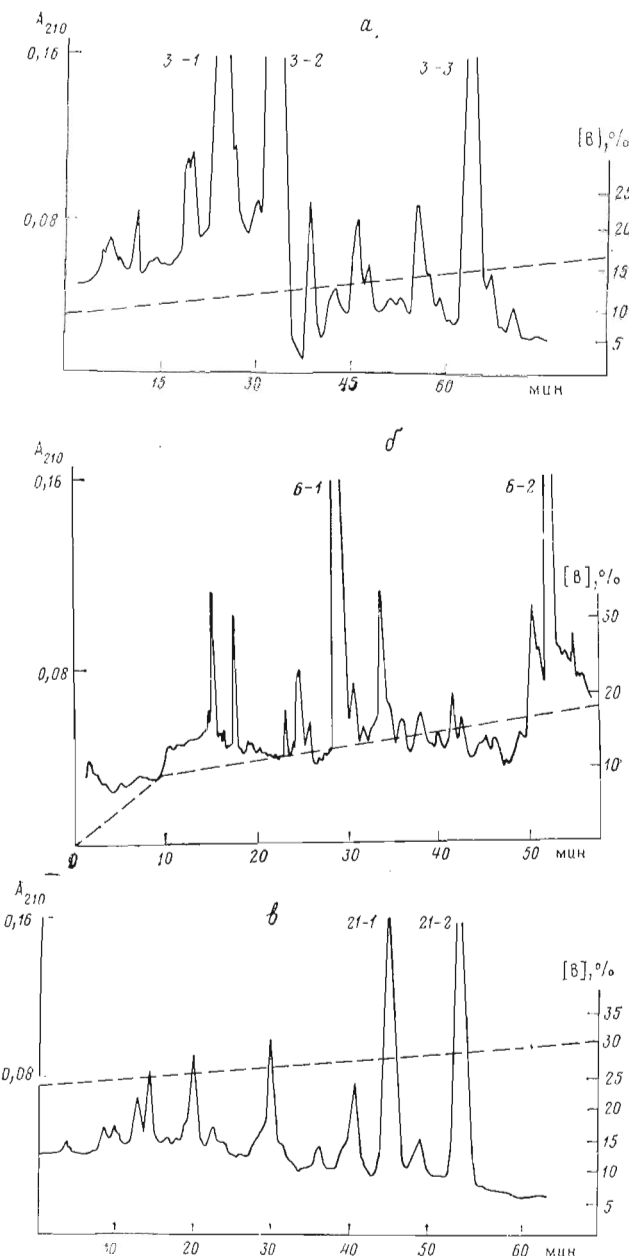


Рис. 3. Рхроматография фракций 3 (а), 6 (б) и 21 (в) триптического гидролизата (см. рис. 2) на колонке $(0,46 \times 25$ см) с носителем Nucleosil C₁₈. Элюирующие буферы: А – 0,1% ТФУ; В – 0,1% ТФУ, 70% CH₃CN. Скорость элюции 1 мл/мин. Пунктирная линия обозначает изменение процентного содержания буфера В

дилась на той же колонке в 0,1% трифторуксусной кислоте с использованием градиента концентраций ацетонитрила. Более высокомолекулярные и гидрофобные пептиды, элюирующиеся при концентрации CH₃CN более 25%, рхроматографировались в аммоний-ацетатном буфере, pH 5,65, в градиенте концентраций ацетонитрила от 0 до 90% (рис. 3 а – в).

Фракция, элюирующаяся с объемом нанесения, содержала смесь коротких пептидов и в дальнейшем не анализировалась.

Гомогенность всех выделенных пептидов контролировалась определением их N-концевых остатков и аминокислотного состава. Установление

структуры пептидов проводилось методом Эдмана в дансильном варианте с одновременной идентификацией дикарбоновых аминокислот и их амидов в виде фенилтиогидантонов. Автоматическую деградацию пептидов осуществляли на жидкофазном секвенаторе. В некоторых случаях С-концевая последовательность определялась (или подтверждалась) с помощью карбоксипептидаз А и В.

В таблице представлены пептиды, для которых установлена полная или частичная аминокислотная последовательность. В таблицу не включены пептиды, охарактеризованные только аминокислотным составом и N-концевой аминокислотой. Они содержат в сумме ~130 остатков.

Среди продуктов гидролиза отсутствуют фрагменты β -субъединицы (к настоящему времени установлена аминокислотная последовательность пептидов, составляющих в сумме более половины полипептидной цепи гликопroteина). Это является еще одним подтверждением сохранения интактности этой субъединицы при гидролизе мембранны-связанной формы фермента.

Анализируя полученные данные, следует отметить, что избирательный гидролиз трипсином экспонированных участков каталитической субъединицы прошел достаточно специфично. Все образовавшиеся пептиды, за исключением пептидов 8-1, 11-3, 13-1, 23-3, содержат в качестве С-концевых остатков лизин или аргинин. Однако в процессе гидролиза произошло частичное расщепление связей типа Ala-Ala, Ile-Val, Ala-Val, расположенных рядом с основией аминокислотой. В результате образовались пептиды 2-3, 21-1, 30-1, отличающиеся на один N-концевой остаток от пептидов 3-2, 25-1 и 33-4 соответственно. Расщепление двух связей в N-концевых областях пептидов 23-2 и 23-4 привело к образованию фрагментов 11-1, 5-1 и 13-1. Такой характер гидролиза не отвечает специфиности действия трипсина и не объясняется проявлением им химотрипсиноподобной активности. Скорее всего эти пептиды расположены в одном участке молекулы α -субъединицы, в первую очередь подвергающемся атаке протеолитических ферментов. Действительно, пептиды 3-2 и 23-2 разделены по полипептидной цепи всего лишь семью аминокислотными остатками [12].

В таблице подчеркнуты фрагменты пептидов 14-1, 33-1, 38-1 и 39-1, аминокислотная последовательность которых послужила основой для синтеза специфических 17-звенных олигонуклеотидных зондов.

В результате проведенного избирательного триптического гидролиза нам удалось выделить пептиды, участвующие в формировании каталитического центра фермента. Так, структура пептида 31-1 идентична части установленных ранее структур пептидов Na^+ , K^+ -ATP-аз из различных источников (почка ягненка, собаки, крысы). Он содержит остаток лизина, модифицируемый необратимым ингибитором Na^+ , K^+ -ATP-аз – изотиоцианатом флуоресцеина [13, 14]. Предполагается, что этот пептид участвует в формировании ATP-связывающего центра, поскольку введение ATP в среду инкубации защищает фермент от ингибирования и модификации.

О консервативности молекулы фермента млекопитающих свидетельствуют и результаты сравнительного структурного анализа выделенных нами пептидов и пептидов триптического гидролизата препарата α -субъединицы Na^+ , K^+ -ATP-азы из почки ягненка. Пять пептидов обоих гидролизатов имеют идентичные аминокислотные последовательности (2-2, 3-2, 16-1, 31-1, 33-1 и T13, T12, T11, T14, T16 [15] соответственно).

Значительная структурная гомология была обнаружена нами при сравнительном анализе триптических пептидов Na^+ , K^+ -ATP-азы с отдельными участками полипептидных цепей других ионтранспортирующих ATP-аз – Ca^{2+} -ATP-азы саркоплазматического ретикулума и субъединицы В Kdp ATP-азы *E. coli* (гомологичные участки в аминокислотных последовательностях двух последних ATP-аз были найдены ранее [16]). Наибольший интерес, по нашему мнению, представляет факт обнаружения единого элемента структуры центра фосфорилирования [17]. Полная идентичность N-концевого участка пептида 2-1 участкам активного центра Ca^{2+} -ATP-азы и Kdp ATP-азы *E. coli* позволила локализовать этот пептид в цепи α -субъединицы рядом с фосфорилирующимся остатком аспарагиновой кислоты.

**Аминокислотная последовательность триптических пептидов α -субъединицы
 Na^+, K^+ -ATР-азы**

| Пептид | Аминокислотная последовательность |
|--------|--|
| 2-1 | Thr-Gly-Thr-Leu-Thr-Gln-Asn-Arg |
| 2-2 | |
| 3-3 | Asn-Ile-Pro-Val-Ser-Gln-Val-Asx-Pro-Arg |
| 12-2 | |
| 2-3 | Ala-Val-Pro-Asp-Ala-Val-Gly-Lys |
| 3-1 | Val-Val-His-Gly-Ser-Asp-Leu-Lys |
| 3-2 | Ala-Ala-Val-Pro-Asp-Ala-Val-Gly-Lys |
| 7-1 | |
| 3-4 | Val-Asp-Asn-Ser-Ser-Leu-Thr-Gly-Glu-Ser(Glx ₂ , Pro)Thr-Arg |
| 4-2 | |
| 5-1 | Val-Thr-Gly-Asp-His-Pro-Ile-Thr-Ala-Lys |
| 6-1 | |
| 6-2 | Val-Thr-Gly-Asp-Gly-Val-Asn-Asp-Ser-Pro-Ala-Leu-Lys |
| 8-2 | |
| 8-1 | Asp-Ile-Gly-Val-Ala-Met-Gly- |
| 8-3 | Ser-Leu-Asp-Gln-Leu-His-Arg |
| 9-1 | |
| 10-1 | Ala-Val-Ala-Gly-Asp-Ala-Ser-Glx(Ser, Leu ₂ , Ala)Lys |
| 11-1 | Met-Val-Thr-Gly-Asp-His-Pro-Ile-Thr-Ala-Lys |
| 12-1 | |
| 11-2 | Gly-Gly-Asp-Arg-Ile-Pro-Ala-Asp-Leu-Arg |
| 11-3 | Gly-Ile-Val-Val-Tyr |
| 13-1 | His-Thr-Glu-Ile-Val-Phe |
| 14-1 | Asp-Phe-Thr-Asn-Glu-Asn-Pro-Leu-Glu-Thr-Arg * |
| 16-1 | Gly-Ile-Val-Val-Tyr-Thr-Gly-Asp-Arg |
| 19-1 | Gly-Val-Gly-Ile-Ile-Ser-Glu-Gly-Asn-Glu-Thr-Val-Glu-Asx-Ile-Ala-Ala-Arg |
| 20-1 | Asp-Met-Thr-Ser-Glu-Gln-Leu-Asp-Asp-Ile-Leu-Lys |
| 21-1 | Val-Glu-Ile-Pro-Phe-Asn-Ser-Thr-Asn-Lys |
| 22-1 | |
| 23-1 | Ile-Phe(Asx ₂)Leu-Lys |
| 23-2 | Val-Ile-Met-Met-Val-Thr-Gly-Asp-His-Pro-Ile-Thr-Ala-Lys |
| 23-4 | Tyr-His-Thr-Glu-Ile-Val-Phe-Ala- |
| 25-1 | Ile-Val-Glu-Ile-Pro-Phe-Asn-Ser-Thr-Asn-Lys |
| 30-1 | Val-Phe-Gln-Ala-Asn-Gln-Glu-Asn-Leu-Pro-Ile-Leu-Lys |
| 31-1 | His-Leu-Leu-Val-Met-Lys |
| 32-1 | Asn-Met-Val-Pro-Gln-Gln-Ala-Leu-Val-Ile-Arg |
| 33-1 | Ala-Val-Phe-Gln-Ala-Asn-Gln-Glu-Asn-Leu-Pro-Ile-Leu-Lys * |
| 34-1 | Leu-Ile-Ile-Val-Glx-Gly- |
| 35-1 | Asp-Ala-Phe-Gln-Asn-Ala-Tyr-Leu-Glu-Leu-Gly-Gly-Leu-Gly-Glu-Arg |
| 37-1 | Gln-Ala-Ala-Asp-Met-Ile-Leu-Leu-Asp-Asp-Asn-Phe-Aia-X-Ile-Val(Thr, Ser, Glx ₂ , Gly ₂ Val)Arg |
| 38-1 | Glu-Gln-Pro-Leu-Asp-Glu-Glu-Leu-Lys-Asp-Ala-Phe-Gln-Asn-Ala-Tyr- |
| | Leu-Glu-Leu-Gly-Gly-Leu-Gly-Glu-Arg * |
| 39-1 | Val-Leu-Gly-Phe-X-His-Leu-Phe-Leu-Pro-Asp-Glu-Gln-Phe-Pro-Glu-Gly- |
| | Phe-Gln-Phe-Asp-Thr-Asp-Asp-Val-Asn-Phe(Cys ₂ , Asx ₃ , Ser, Pro ₃ , Gly, Val, Met, Ile ₂ , Leu ₃)Arg * |

* Подчеркнуты фрагменты, аминокислотная последовательность которых послужила основой для синтеза слизионуклеотидных зондов.

Наибольшее структурное сходство наблюдается между пептидами Na^+, K^+ -ATР-азы и фрагментом S₃ Ca²⁺-ATР-азы, являющимся гидрофильным участком полипептидной цепи белка, экспонированым в цитоплазму [17]. Основываясь на этом факте и учитывая то, что все ранее описанные связи, чувствительные к действию трипсина [2, 8], локализованы в цитоплазматической области Na^+, K^+ -ATР-азы, можно предположить, что выделенные пами пептиды расположены главным образом в цитоплазматических районах полипептидной цепи α -субъединицы. Большая устойчивость к действию трипсина участков молекулы, экспонированных по другую сто-

ропу мембранны, вероятно, может быть обусловлена экраанированием α -субъединицы углеводными цепями гликопroteина.

Таким образом, проведенный избирательный триптический гидролиз мембранны-связанного препарата Na^+ , K^+ -ATР-азы и анализ водорастворимой части гидролизата позволил довольно быстро получить структурную информацию об обширных гидрофильных участках α -субъединицы, расположенных, по всей видимости, в цитоплазматической области молекулы фермента. Полученная структурная информация была использована для синтеза специфических олигонуклеотидных зондов.

Экспериментальная часть

В работе использованы трипсин TRC_K (Worthington, США), карбоксипептидазы А (Calbiochem, Швейцария) и В (Boehringer, ФРГ), акриламид, N, N'-метиленбисакриламид, N, N, N', N'-тетраметилэтилендиамины, персульфат аммония (Bio-Rad, США), ацетонитрил (Merck, ФРГ), трифторуксусная кислота (Pierce, США). Выделение Na^+ , K^+ -ATР-азы из мозгового слоя почек свиньи проводили в ступенчатом градиенте плотности глицерина по модифицированному методу Йоргенсена [6].

Концентрацию белка во фракциях определяли по методу Лоури [18] с использованием бычьего сывороточного альбумина в качестве стандарта. Специфическая активность использованного препарата фермента ~ 1400 мкмоль $P_i/\text{ч}/\text{мг}$ белка при 37°C .

Электрофорез проводили согласно работе [19] в натрий-фосфатном буфере, pH 7,0, в присутствии 0,1% додецилсульфата натрия. Использовали градиентные пластины ПААГ (4–15%) размером 8×8 см и толщиной 3 мм. Для определения молекулярных масс строили калибровочную кривую по следующим белковым стандартам: цитохром c (11 700), химотрипсиноген A (25 000), яичный альбумин (45 000), бычий сывороточный альбумин (67 000). Образцы предварительно инкубировали в 0,1 М натрий-фосфатном буфере, pH 7,5, содержащем 5% додецилсульфата натрия, 2,5% β-меркаптоэтанола, 1 мМ EDTA, при 100°C в течение 2 мин, после чего 50 мкг образца вносили в ячейку. Электрофорез вели с охлаждением при постоянном токе 60 мА/пластина в течение 6 ч. Гели окрашивали коллоидным раствором кумасси G-250 в 12,5% трихлоруксусной кислоте [20] или реагентом Шиффа [21]. Сканирование проводили на приставке к спектрофотометру Gilford (Gilford, Франция) (λ 550 и 560 нм).

Избирательный триптический гидролиз. Na^+ , K^+ -ATР-азу (90 мг) суспендировали в 0,1 М растворе бикарбоната аммония, pH 7,5, в концентрации 1 мг/мл. К суспензии при 37°C добавляли TRC_K-трипсин (соотношение фермент – субстрат 1:100) и инкубировали в течение 10 мин при непрерывном перемешивании. По окончании времени инкубации вводили 10-кратный избыток холодной воды (4°C). Мембранны осаждали центрифугированием (L5-50, Beckman, США, ротор – тип 35; 34 000 об/мин, 2,5 ч, 4°C). Супернатант, содержащий водорастворимые пептиды, лиофилизовали и ресусцидировали в 0,1 М NH_4HCO_3 , pH 8,3, в концентрации 1 мг/мл. Повторную обработку трипсином вели в течение 4,5 ч при 37°C при соотношении фермент – субстрат 1:100, после чего гидролизат разделяли на 10 равных частей и замораживали при -20°C .

Высокоэффективную жидкостную хроматографию пептидов проводили на хроматографе Du Pont Instruments, модель 850 (Du Pont, США) с проточными сцинктофотометрами Uvicord II, модель 2151, и Uvicord SD, модель 2158 (LKB, Швеция). При разделении использовали колонки (0,46××25 см) с обращенной фазой Nucleosil C₁₈ (диаметр частиц 7 мкм, Machery-Nagel, ФРГ). Первичное деление гидролизата проводили в 10 мМ $\text{NH}_4\text{CH}_3\text{COO}$, pH 5,65, в градиенте концентрации ацетонитрила от 0 до 70%. $1/10$ часть гидролизата разводили водой до конечной концентрации 5 мМ бикарбоната аммония и наносили на колонку через фильтр. Скорость нанесения и элюции 1 мл/мин. Время изменения градиента ~ 5 ч (0–25% ацетонитрила – 200 мин; 25–30% – 30 мин; 30–70% – 30 мин;

70% CH_3CN – 30 мин). Рекроматографию пептидов проводили в 0,1% водной трифторуксусной кислоте или в 10 мМ аммоний-ацетате, pH 5,65 (для высокомолекулярных и гидрофобных пептидов) в градиенте концентрации ацетонитрила. Скорость элюции 1 мл/мин. Время изменения градиента ~1–2 ч. Пептиды детектировали спектрофотометрически при двух длинах волн: 210 и 280 нм.

Деградацию пептидов по методу Эдмана с идентификацией аминокислот в виде дансильных производных проводили на 2–5 им образца по методике [22]. Идентификацию фенилтиогидантинов дикарбоновых аминокислот и их амидов осуществляли как описано в сообщении [23].

C-Концевую последовательность пептидов определяли с помощью карбоксипептидаз А и В [24] с последующим анализом гидролизата на аминокислотном анализаторе Biotronic (Biotronic, ФРГ) с флуориметрическим детектором.

Автоматическую деградацию пептидов осуществляли на секвенаторе 890 С (Beckman, США) по программе № 102974. Идентификацию фенилтиогидантинов аминокислот проводили методом ВЭЖХ [25].

Аминокислотный состав пептидов определяли на аминокислотном анализаторе D-500 (Durrum, США).

Авторы выражают глубокую признательность акад. Ю. А. Овчинникову за постоянное внимание к работе и ценные советы. Авторы благодарят Т. И. Муравьеву, Г. И. Полящук, Е. Г. Гаврильеву, Т. Д. Нестерову за участие в выделении препаратов фермента.

ЛИТЕРАТУРА

1. Modyanov N. N., Arzamazova N. M., Gevondyan N. M., Kuzmina E. A., Petrakhan K. E., Shafieva G. I. In: Abstracts of 16th Meeting of FEBS, 1984, XV–032, p. 341.
2. Jorgensen P. L. Biochim. et biophys. acta, 1982, v. 694, p. 27–68.
3. Cantley L. C. Curr. Top. Bioenerg., 1981, v. 11, p. 201–237.
4. Post R. L. Curr. Top. in Membr. and Transport, 1983, v. 19, p. 53–65.
5. Robinson J. D., Flashner M. S. Biochim. et biophys. acta, 1979, v. 549, p. 145–176.
6. Джанджузян К. Н., Модянов Н. Н., Овчинников Ю. А. Биоорганическая химия, 1981, т. 7, № 6, с. 847–857.
7. Джанджузян К. Н., Модянов Н. Н., Мустаев А. А. Биол. мембранны, 1984, т. 1, № 8, с. 823–830.
8. Джанджузян К. Н., Модянов Н. Н., Овчинников Ю. А. Биоорганическая химия, 1981, т. 7, № 12, с. 1790–1800.
9. Castro J., Farley R. A. J. Biol. Chem., 1979, v. 254, № 7, p. 2221–2228.
10. Giotta G. J. J. Biol. Chem., 1975, v. 250, № 13, p. 5159–5164.
11. Jorgensen P. L. Biochim. et biophys. acta, 1975, v. 401, p. 399–415.
12. Овчинников Ю. А., Монастырская Г. С., Арсениян С. Г., Броуде Н. Е., Петрухин К. Е., Гришин А. В., Арзамазова Н. М., Северцовна И. В., Модянов Н. Н. Докл. АН СССР, 1985, т. 283, № 5, с. 1278–1280.
13. Farley R. A., Tran C. N., Carilli C. T., Hawke D., Shively J. E. J. Biol. Chem., 1984, v. 259, № 15, p. 9532–9535.
14. Kirley T. L., Wallack E. F., Lane L. K. Biochem. and Biophys. Res. Commun., 1984, v. 125, № 2, p. 767–773.
15. Collins J. H., Zot A. S., Ball W. J., Lane L. K., Schwartz A. Biochim. et biophys. acta, 1983, v. 742, p. 358–365.
16. Hesse J. E., Wieczorek R. L., Altendorf K., Reicin A. S., Dorus E., Epstein W. Proc. Nat. Acad. Sci. USA, 1984, v. 81, p. 4746–4750.
17. Модянов Н. Н., Арзамазова Н. М., Аристархова Е. А., Гевондян Н. М., Овчинников Ю. А. Биол. мембранны, 1985, т. 2, № 8, с. 844–848.
18. Lowry O. H., Rosebrough N. J., Farr A. L., Randall R. J. J. Biol. Chem., 1951, v. 193, p. 265–275.
19. Weber W., Osborn M. J. Biol. Chem., 1969, v. 344, № 16, p. 4406–4412.
20. Diezel W., Kopperschlager G., Hofman E. Anal. Biochem., 1972, v. 48, p. 617–620.
21. Fairbanks G., Steck T. L., Wallack D. F. H. Biochemistry, 1971, v. 13, p. 2606–2617.
22. Гриневич В. А., Арзамазова Н. М., Потапенко Н. А., Гриневич Х. А., Кравченко З. Б., Фейгина М. Ю., Алданова Н. А. Биоорганическая химия, 1979, т. 5, № 12, с. 1757–1774.
23. Chen R. Hoppe-Seylers Z. Physiol. Chem., 1976, v. 357, p. 873–886.
24. Ambler R. P. In: Methods in Enzymol./Eds Colowich S. P., Kaplan N. O. N. Y.—L.: Acad. Press, 1972, v. XXV B, p. 143–154, 262–272.
25. Hawke D., Yuan P.-M., Shively J. E. Anal. Biochem., 1982, v. 120, p. 302–311.

Поступила в редакцию
5.VII.1985

**PRIMARY STRUCTURE OF α -SUBUNIT OF Na^+,K^+ -ATPase. I. ANALYSIS
OF HYDROPHILIC REGIONS OF THE POLYPEPTIDE CHAIN**

ARZAMAZOVA N. M., ARYSTARKHOVA E. A., SHAFIEVA G. I.,
NAZIMOV I. V., ALDANOVA N. A., MODYANOV N. N.

*M. M. Shemyakin Institute of Bioorganic Chemistry, Academy
of Sciences of the USSR, Moscow*

The selective tryptic digestion of the native membrane-bound enzyme was carried out under conditions that provide the extensive hydrolysis of hydrophilic regions of the α -subunit into small fragments and allow to preserve the integrity of the β -subunit. Twenty-seven water-soluble peptides comprising ~40% of the total polypeptide chain were isolated by HPLC and their complete or partial amino acid sequence was determined. It led to general outline of the structural organisation of the α -subunit hydrophilic regions exposed from membrane. The information thus obtained was used in synthesis of specific oligonucleotide probes.